

2차원 배열의 Succinct 표현을 위한 Rank 및 Select 함수

박치성^{1,0} 김민환² 김동규³
^{1,2} 부산대학교 컴퓨터공학과
³ 한양대학교 전자통신컴퓨터공학부
¹ cspark@islab.ce.pusan.ac.kr
² mhkim@pusan.ac.kr
³ dqkim@hanyang.ac.kr

Rank and Select Functions for Succinct Representation of Two-Dimensional Arrays

Chi Seong Park^{1,0} Minhwan Kim² Dong Kyue Kim³

^{1,2} Dept. of Computer Science & Engineering, Pusan National University, Busan 609-735, Korea

³ Dept. of Electronics and Computer Engineering, Hanyang University, Seoul 133-791, Korea

요 약

집합이나 배열의 원소, 트리의 노드, 그래프의 정점과 간선 등과 같은 이산 객체는 일반적으로 주기억장치
 치의 논리적 주소 값과 같은 정수로 표현되어 왔다. Succinct 표현은 이와 같은 n 개의 이산 객체를 $O(n)$
 비트에 표현하는 방법이다. 대부분의 succinct 표현은 rank와 select라는 함수를 기본적으로 사용하며, 다
 양한 연구들에 의해 현재 rank와 select 함수는 $o(n)$ 비트만을 사용하여 $O(1)$ 시간에 수행될 뿐만 아니
 라, 실제로도 실용적으로 구현되었다. 본 논문에서는 $n \times n$ 배열, 즉 2차원 비트 스트링에 대한 Rank 및
 Select 함수를 새롭게 정의한다. 또한, $O(n^2 \log n)$ 비트를 사용하여 $O(1)$ 시간에 Rank 질의를 수행하고
 $O(\log n)$ 시간에 Select 질의를 수행하는 방법과, 보다 적은 $O(n^2)$ 비트를 사용하면서 $O(\log n)$ 시간에
 Rank 질의를 수행하고 $O(\log^2 n)$ 시간에 Select 질의를 수행하는 방법을 제안한다. 본 논문에서 정의하는
 2차원 배열 상의 Rank와 Select 함수는 이미 개발된 2차원 상의 썸픽스 트리 등을 기반으로 향후 개발될
 2차원 상의 압축된 인덱스 자료구조나 이미지 프로세싱 등에 유용하게 사용된다.

위해서도 succinct 표현이 사용되고 있다.

대부분의 succinct 표현은 rank와 select라는 함수를 기본적으로 사용한다. 정적인(static) 비트 스트링 $A[0..n-1]$ 에 대하여, rank와 select 함수는 다음과 같
 이 정의된다.

1. 서 론

집합(set)이나 배열(array)의 원소(element), 트리(tree)의 노드(node), 그래프(graph)의 정점(vertex)과 간선(edge) 등과 같은 이산 객체(discrete object)들은 일반적으로 주기억장치의 논리적 주소(logical address) 값과 같은 정수(integer)로 표현되어 왔다. 이러한 방법으로 n 개의 이산 객체를 표현(representation)할 경우 필요한 저장 공간은 $O(n)$ 워드(word), 다시 말해 $O(n \log n)$ 비트(bit)이다.

Succinct 표현은 n 개의 이산 객체를 $O(n)$ 비트에 표현하는 방법으로써, 자료구조를 succinct 표현하면 적은 공간의 사용이 가능하다. 이러한 장점으로 인해 집합이나 트리 [1], 그래프 [2, 3], static dictionary 또는 dynamic dictionary [4, 5]는 자료구조뿐만 아니라 순열(permutation) [6], 함수(function) [7] 등도 1차원의 비트 스트링(bit string)으로 succinct 표현하는 기법들이 다양하게 연구되어 왔다. 또한, 스트링 처리(string processing) 분야에서 사용되는 압축된 썸픽스 트리(compressed suffix tree)나 압축된 썸픽스 배열(compressed suffix array) [8, 9, 10, 11, 12, 13], FM-index [14, 15] 등의 전체 텍스트 인덱스 자료구조(full-text index data structure)나, 생물정보학(bioinformatics) 분야에서 다루는 방대한 양의 DNA 시퀀스(sequence) 자료들을 효율적으로 저장하기

- $rank(x) = y$
 $y : A[0..x]$ 에 포함된 1의 수

- $select(y) = x$
 $x : A$ 의 처음부터 y 번째 1의 위치

예를 들어, $A = 10010110$ 이 주어졌을 때 $rank(4) = 2$, $select(2) = 3$ 이다. 이 정의에 따르면 rank와 select 함수가 역함수 관계를 형성하고 있음을 알 수 있다.

rank와 select 함수의 수행은 이산 객체의 접근을 의미하기 때문에, rank와 select 함수의 성능이 succinct 표현된 자료구조의 성능을 결정하게 된다. rank와 select 함수를 처음 제안한 Jacobson [3, 4]은 $O(\log n)$ 시간에 질의가 수행되는 $o(n)$ 비트의 directory 기반 자료구조를 개발하였으며, 이후 Clark [16], Munro and Raman [1], Miltersen [17], Kim et al. [18] 등의 연구들을 통해, 현재 rank와 select 함수는 $o(n)$ 비트를 사용하여 $O(1)$ 시간에 수행 가능하며, 실용적인 구현도 가능하다.

본 논문에서는 $n \times n$ 배열, 즉 2차원 비트 스트림에 대한 Rank 및 Select 함수를 새롭게 정의한다. 또한, $O(n^2 \log n)$ 비트를 사용하여 $O(1)$ 시간에 Rank 질의를 수행하고 $O(\log n)$ 시간에 Select 질의를 수행하는 방법과, 보다 적은 $O(n^2)$ 비트를 사용하면서 $O(\log n)$ 시간에 Rank 질의를 수행하고 $O(\log^2 n)$ 시간에 Select 질의를 수행하는 방법을 제안한다. 본 논문에서 정의하는 2차원 배열 상의 Rank와 Select 함수는 이미 개발된 2차원 상의 썬픽스트리 [19] 등을 기반으로 향후 개발될 2차원 상의 압축된 인덱스 자료구조나 이미지 처리(image processing) 등에 유용하게 사용될 수 있다.

본 논문은 총 5장으로 구성된다. 먼저 2장에서 2차원 배열 상의 Rank 및 Select 함수를 정의한 후, 3장에서 Rank 함수를 $O(1)$ 시간에 수행하고, 이를 이용하여 Select 함수를 $O(\log n)$ 시간에 수행할 수 있는 간단한 방법을 제안한다. 4장에서는 3장의 방법보다 느리지만 보다 효율적으로 공간을 사용하는 방법을 제안하고, 5장에서 결론을 맺는다.

2. 문제 정의

$n \times n$ 크기의 정적인 비트 스트림 $A[0..n-1, 0..n-1]$ 이 주어졌다고 가정하자. A 상의 $i(0 \leq i \leq i' \leq n-1)$ 번째 row와 $j(0 \leq j \leq j' \leq n-1)$ 번째 column의 교점 상에 있는 비트 위치를 $p(i, j)$ 라 하자. 또한, 두 점 $p(i, j)$ 와 $p(i', j')$ 에 의해 만들어지는 A 상의 직사각형을 $A[p(i, j):p(i', j')]$ 라 하자. (그림 1)

임의의 $p(i, j)$ 에 대하여, 우리는 A 의 Rank 및 Select 함수를 다음과 같이 정의한다. (그림 2)

- $Rank_p(x) = y$
 $y : A[p(i, j):p(i+x, j+x)]$ 내에 포함된 1의 수
- $Select_p(y) = x$
 $x : A[p(i, j):p(i+x, j+x)]$ 내에 포함된 1의 수를 z 라 했을 때, $y \leq z$ 를 만족하는 x 들 중 최소의 값

이 정의에 따르면 1차원에서의 rank, select 함수와 마찬가지로 2차원의 Rank, Select 함수 역시 역함수 관계를 형성하고 있다.

질의시마다 매번 A 전체를 스캔(scan)하는 원시적인 (naive) 방법을 사용할 경우, 별도의 자료구조를 구축하지 않아도 되지만 $Rank_p(x)$ 와 $Select_p(y)$ 질의에 $O(n^2)$ 시간이 필요하게 된다. 반면 A 의 모든 $p(i, j)$ 에 대한 $Rank_p(x)$ 값을 다 저장하는 자료구조를 구축할 경우, $Rank_p(x)$ 질의는 $O(1)$ 시간에 수행되고 $Select_p(y)$ 질의는 $Rank_p(x)$ 값들을 이진 검색(binary searching)하여 $O(\log n)$ 시간에 수행될 수 있지만, 이 자료구조를 저장하기 위해 $O(n^3 \log n)$ 비트의 공간을 사용하게 된다.

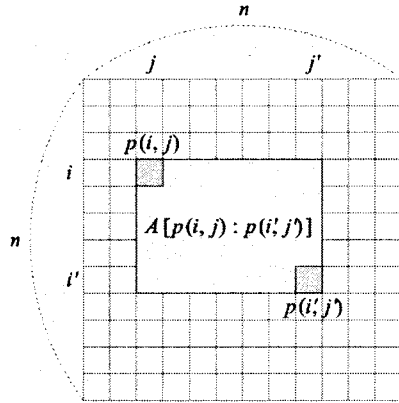


그림 1. 직사각형 $A[p(i, j):p(i', j')]$

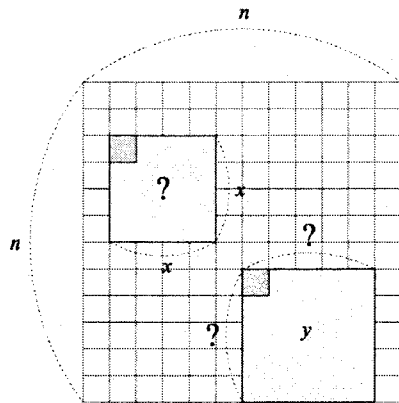


그림 2. $Rank_p(x)$ 및 $Select_p(y)$

본 논문의 3장과 4장에서 다루려는 문제는 되도록 적은 공간을 사용하면서도 가능한 빠른 시간에 $Rank_p(x)$ 와 $Select_p(y)$ 질의를 수행 가능하게 하는 자료구조를 구축하는 것이다.

3. 간단한 해결 방법

본 장에서는 $O(n^2 \log n)$ 비트를 사용하면서 $O(1)$ 시간에 $Rank_p(x)$ 질의를, $O(\log n)$ 시간에 $Select_p(y)$ 질의를 수행 가능하게 하는 자료구조를 소개한다. 이 자료구조는 A 의 2차원적인 특성을 이용하여 매우 간단하다.

먼저 임의의 $p(i, j)$ 에 대한 $Rect_I(i, j)$, $Rect_{II}(i, j)$, $Rect_{III}(i, j)$, $Rect_{IV}(i, j)$ 를 각각 다음과 같이 정의한다. (그림 3)

- $Rect_I(i, j) = A[p(0, 0):p(i, j)]$
- $Rect_{II}(i, j) = A[p(0, j):p(i, n-1)]$
- $Rect_{III}(i, j) = A[p(i, 0):p(n-1, j)]$
- $Rect_{IV}(i, j) = A[p(i, j):p(n-1, n-1)]$

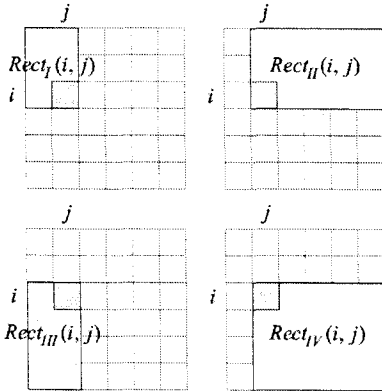


그림 3. $p(i, j)$ 에 대한 $Rect_I(i, j)$, $Rect_{II}(i, j)$, $Rect_{III}(i, j)$, $Rect_{IV}(i, j)$

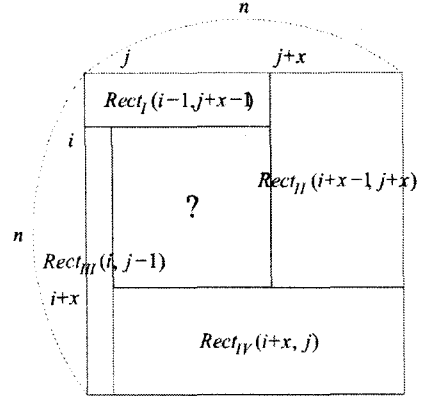


그림 4. $Rank_p(x)$ 를 구하는 간단한 방법

$Rect_I(i, j)$, $Rect_{II}(i, j)$, $Rect_{III}(i, j)$, $Rect_{IV}(i, j)$ 는 A 상에서 각각 $p(i, j)$ 의 좌 상단, 좌 하단, 우 상단, 우 하단에 위치하게 된다.

이제 자료구조 $RECT_T(0..n-1, 0..n-1)$ 을 구축한다. 이 때, $RECT_T[i, j]$ 에는 $Rect_T(i, j)$ 내에 포함된 1의 수를 기록하며, A 전체를 한 번 스캔하여 $RECT_T$ 을 구축할 수 있다.

$RECT_{II}$, $RECT_{III}$, $RECT_{IV}$ 도 $RECT_T$ 과 동일한 방법으로 함께 구축할 수 있으므로, $RECT_I$, $RECT_{II}$, $RECT_{III}$, $RECT_{IV}$ 의 전체 구축 시간은 $O(n^2)$ 이다. 각각 n^2 개의 엔트리(entry)를 필요로 하고, 하나의 엔트리가 $O(\log n^2)$ 비트를 사용하기 때문에 전체 자료구조가 사용하는 공간은 $O(n^2 \log n)$ 비트이다.

- $RECT_I$, $RECT_{II}$, $RECT_{III}$, $RECT_{IV}$ 자료구조는 $O(n^2)$ 시간에 구축되며, $O(n^2 \log n)$ 비트를 사용한다. 또한, 임의의 $Rect_I(i, j)$, $Rect_{II}(i, j)$, $Rect_{III}(i, j)$, $Rect_{IV}(i, j)$ 의 1의 수를 $O(1)$ 시간에 반환한다. (1)

(1)을 기반으로 하여 다음과 같이 $Rank_p(x)$ 값을 구할 수 있다. (그림 4)

- $Rank_p(x) = RECT_T(n-1, n-1)$
 $- RECT_I(i-1, j+x-1)$
 $- RECT_{II}(i+x-1, j+x)$
 $- RECT_{III}(i, j-1)$
 $- RECT_{IV}(i+x, j)$ (2)

따라서 $Rank_p(x)$ 질의는 $O(1)$ 시간에 수행된다.

$Select_p(y) = x$ 질의의 경우에는, y 와 $Rank_p(x)$ 질의를 비교하면서 n 상에서 x 를 이진 검색하는 방법을 사

용한다. 비교 연산에 필요한 $Rank_p(x)$ 질의가 $O(1)$ 시간에 수행되고 이진 검색이 이루어지는 구간의 최대 길이가 n 이므로, $Select_p(y)$ 질의는 $O(\log n)$ 시간에 수행된다.

4. 공간 효율적인 방법

본 장에서는 A 와 동일한 크기인 $O(n^2)$ 비트를 사용하여 $O(\log n)$ 시간에 $Rank_p(x)$ 질의를, $O(\log^2 n)$ 시간에 $Select_p(y)$ 질의를 수행 가능하게 하는 방법을 소개한다. 이 방법은 A 를 대각선(diagonal)들로 나누어, 각각에 대하여 기존의 1차원 rank와 select 함수에서 사용되었던 level directory 구조를 구축한다.

먼저 임의의 $p(i, j)$ 에 대한 $Diag_I(i, j)$, $Diag_{II}(i, j)$, $Diag_{III}(i, j)$, $Diag_{IV}(i, j)$ 를 각각 다음과 같이 정의한다. (그림 5)

- $Diag_I(i, j)$: $p(i, j)$ 를 포함하면서, 좌 상단에서 우 하단으로 이어지는 대각선 중 가장 긴 것
- $Diag_{II}(i, j)$: $p(i, j)$ 를 포함하면서, 우 상단에서 좌 하단으로 이어지는 대각선 중 가장 긴 것
- $Diag_{III}(i, j)$: $p(i, j)$ 를 포함하면서, 좌 하단에서 우 상단으로 이어지는 대각선 중 가장 긴 것
- $Diag_{IV}(i, j)$: $p(i, j)$ 를 포함하면서, 우 하단에서 좌 상단으로 이어지는 대각선 중 가장 긴 것

이제 자료구조 $DIAG_T(0..|Diag_I(i, j)|-1)$ 을 구축한다. 이 때, $DIAG_T[(i, j)]$ 에는 $Rect_I(i, j)$ 내에 포함된 1의 수를 기록한다. 따라서 $O(n)$ 개의 엔트리를 필요로 하고 하나의 엔트리가 $O(\log n^2)$ 비트를 사용하기 때문에, $DIAG_T[(i, j)]$ 하나가 사용하는 공간은 $O(n \log n)$ 비트이다. $DIAG_{II}$, $DIAG_{III}$, $DIAG_{IV}$ 도 $DIAG_I$ 과 동일한

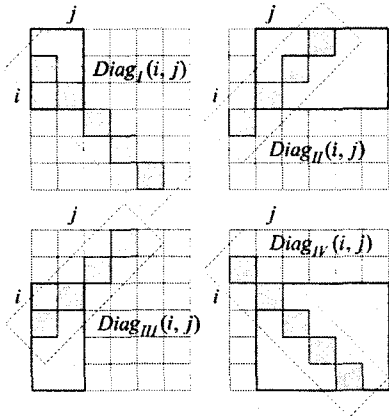


그림 5. $p(i, j)$ 에 대한 $Diag_r(i, j)$

방법으로 함께 구축한다. 또한, 중복되는 것을 제외하였을 때 A 의 모든 $p(i, j)$ 에 대한 $Diag_I(i, j)$, $Diag_{II}(i, j)$, $Diag_{III}(i, j)$, $Diag_{IV}(i, j)$ 들은 각각 $2n-1$ 개씩 존재하므로, 모두 합쳐 $O(n)$ 개이다. 결국, A 의 모든 $p(i, j)$ 에 대한 $DIAG_I$, $DIAG_{II}$, $DIAG_{III}$, $DIAG_{IV}$ 를 저장할 경우 $O(n^2 \log n)$ 비트를 필요로 하게 되며, 이는 우리가 3장에서 제안했던 자료구조들과 동일한 형태가 된다.

우리는 위에서 언급한 방법 대신, A 의 모든 $p(i, j)$ 에 의해 정의되는 $2n-1$ 개의 $Diag_r(i, j)$ 들에 대하여 two-level directory 자료구조 $RANKDIR_r[0..2n-2]$ 를 구축한다. 임의의 $p(i, j)$ 의 $Diag_r(i, j)$ 하나에 대한 $RANKDIR_r[(i, j)]$ 는 다음과 같이 정의된다. (그림 6)

- 첫 번째 level directory : $Diag_r(i, j)$ 를 $\log^2 n$ 크기의 큰 블록(big block)들로 분할한다. 분할된 블록들 중 임의의 블록에 포함된 마지막 비트 위치를 $p(x, y)$ 라 할 때, 해당 블록에 대한 directory의 엔트리에는 $Rect_r(x, y)$ 내에 포함된 1의 수를 기록한다.

예를 들어 $1 \leq i \leq \lfloor |Diag_r(0, 0)| / \log^2 n \rfloor$ 일 때, $Diag_r(0, 0)$ 에 대한 첫 번째 level directory의 i 번째 엔트리에는 $Rect_r(i \log^2 n, i \log^2 n)$ 내에 포함된 1의 수를 기록한다.

- 두 번째 level directory : $Diag_r(i, j)$ 를 $\log n$ 크기의 작은 블록(small block)들로 분할한다. 분할된 작은 블록들 중 임의의 블록에 포함된 마지막 비트를 $p(x, y)$, 해당 작은 블록이 포함되는 큰 블록의 직전 큰 블록에 포함된 마지막 비트를 $p(x', y')$ 라 할 때, 해당 작은 블록에 대한 directory의 엔트리에는 $Rect_r(x, y) - Rect_r(x', y')$ 의 영역 내에 포함된 1의 수를 기록한다.

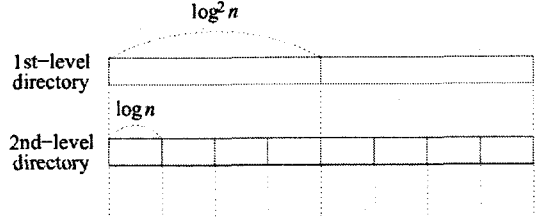


그림 6. $Diag_r(i, j)$ 에 대한 $RANKDIR_r[(i, j)]$

예를 들어 $1 \leq i \leq \lfloor |Diag_I(0, 0)| / \log n \rfloor$ 이고 $i' = \lfloor i \log n / \log^2 n \rfloor$ 일 때, $Diag_I(0, 0)$ 에 대한 두 번째 level directory의 i 번째 엔트리에는 $Rect_r(i' \log^2 n + i \log n, i' \log^2 n + i \log n) - Rect_r(i' \log^2 n, i' \log^2 n)$ 의 영역 내에 포함된 1의 수를 기록한다.

$RANKDIR_r[(i, j)]$ 의 첫 번째 directory는 $O(\lfloor n / \log^2 n \rfloor)$ 개의 엔트리를 가지며, 하나의 엔트리는 $O(\log n^2)$ 비트를 필요로 한다. 따라서 첫 번째 directory를 저장하기 위해 필요한 공간은 $o(n)$ 비트이다. 하나의 $RANKDIR_r[(i, j)]$ 의 두 번째 directory는 $O(n / \log n)$ 개의 엔트리를 가지며, 하나의 엔트리는 $O(\log n + \log \log n)$ 비트를 필요로 한다. 따라서 두 번째 directory를 저장하기 위해 필요한 공간은 $O(n)$ 비트이다. 결국 $RANKDIR_r[(i, j)]$ 는 $O(n)$ 비트를 사용하며, A 의 모든 $p(i, j)$ 에 대한 $RANKDIR_r[0..2n-2]$ 의 크기가 $O(n)$ 이므로, $RANKDIR_r[0..2n-2]$ 가 사용하는 공간은 $O(n^2)$ 비트이며, $O(n^2)$ 시간에 구축 가능하다. 또한, 자료구조 $RANKDIR_r[0..2n-2]$ 는 다음을 만족한다.

- $i \bmod (\log n) = 0$ 또는 $j \bmod (\log n) = 0$ 을 만족하는 임의의 $p(i, j)$ 에 대한 $Diag_r(i, j)$ 의 $RANKDIR_r[(i, j)]$ 는 첫 번째 directory의 $i / \log^2 n$ 번째 엔트리 값과 두 번째 directory의 $(i - ((i / \log^2 n) \times \log^2 n)) / \log n$ 번째 엔트리 값을 합하여 $Rect_r(i, j)$ 내의 1의 수를 $O(1)$ 시간에 반환한다. (3)

- $i \bmod (\log n) = 0$ 또는 $j \bmod (\log n) = 0$ 을 만족하고 $m < \log n$ 일 때, $Rect_r(i+m, j+m)$ 내에 포함된 1의 수는 $RANKDIR_r[(i, j)]$ 를 통해 $O(1)$ 시간에 얻은 $Rect_r(i, j)$ 내 1의 수와, $Rect_r(i+m, j+m) - Rect_r(i, j)$ 의 영역 내 1의 수의 합과 같다. (4)

이제 A 의 n 개의 row와 n 개의 column들에 대해 1차원 rank 자료구조 $rankdir_R[0..n-1]$ 과 $rankdir_C[0..n-1]$ 을 구축한다. 기존의 알고리즘들에 의해 $rankdir_R[i]$ 와

$rankdir_C[i]$ 는 $O(n)$ 비트에 구축될 수 있으므로, 이 자료구조가 사용하는 공간은 $O(n^2)$ 비트이며, 구축 시간은 $O(n^2)$ 이다. 또한, $rankdir_R[0..n-1]$ 와 $rankdir_C[0..n-1]$ 를 통하여 다음이 성립한다.

- 1차원 $rank$ 질의를 $2m(m < \log n)$ 번 수행하면 $Rect_I(i+m, j+m) - Rect_I(i, j)$ 내에 포함된 1의 수를 $O(\log n)$ 시간에 알 수 있다. (5)

우리는 (3), (4), (5)에 의해 $Rect_I(i+m, j+m)$ ($m < \log n$) 내에 포함된 1의 수를 $O(\log n)$ 시간에 얻을 수 있다. 따라서, $RANKDIR_I[0..2n-2]$ 와 마찬가지로 $RANKDIR_{II}[0..2n-2]$, $RANKDIR_{III}[0..2n-2]$, $RANKDIR_{IV}[0..2n-2]$ 를 모두 구축하면, (2)에 의해 $O(\log n)$ 시간에 $Rank_p(x)$ 질의를 수행할 수 있다.

$Select_p(y)$ 질의의 경우 3장과 동일한 방법으로 이진 검색하여 $O(\log^2 n)$ 시간에 수행될 수 있다.

5. 결론

본 논문에서는 2차원 비트 스트링 내에서 동작하는 $Rank_p(x)$ 와 $Select_p(y)$ 함수를 정의하였다. 또한, $O(n^2 \log n)$ 비트의 자료구조를 $O(n^2)$ 시간에 구축하여 $Rank_p(x)$ 질의를 $O(1)$ 시간에, $Select_p(y)$ 질의를 $O(\log n)$ 시간에 수행하는 방법과, $O(n^2)$ 비트의 $RANKDIR_I[0..2n-2]$, $RANKDIR_{II}[0..2n-2]$, $RANKDIR_{III}[0..2n-2]$, $RANKDIR_{IV}[0..2n-2]$ 와 $rankdir_R[0..n-1]$ 과 $rankdir_C[0..n-1]$ 를 $O(n^2)$ 시간에 함께 구축하여 $Rank_p(x)$ 질의를 $O(\log n)$ 시간에, $Select_p(y)$ 질의를 $O(\log^2 n)$ 시간에 수행하는 방법을 제시하였다.

6. 향후 연구

$O(n^2)$ 비트의 2차원 비트 스트링 내에서 동작하는 $Rank_p(x)$ 와 $Select_p(y)$ 함수의 궁극적인 목표는 $o(n^2)$ 비트를 사용하여 $O(n^2)$ 시간에 구축된 자료구조를 기반으로 $O(1)$ 시간에 질의를 수행하는 것이 될 것이다. 효율적인 $Rank_p(x)$ 와 $Select_p(y)$ 함수는 향후 2차원 상에서의 압축된 인덱스 자료구조 개발이나 이미지 처리 분야 등에서 공간 효율을 위한 도구의 하나로 사용될 것이다.

참고문헌

[1] J. I. Munro and V. Raman, Succinct Representation of balanced parentheses and static trees, *SIAM J. Comput.*, 31(3):762-776, 2001
 [2] G. Turan, Succinct representations of graphs, *Discrete*

Applied Math., 8:289-294, 1984

[3] G. Jacobson. Space-efficient static trees and graphs. *Proc. 30th IEEE Symp. Found. Computer Science*, 549-554, 1989
 [4] G. Jacobson, *Succinct Static Data Structures*, PhD thesis, Carnegie Mellon University, Pittsburgh, 1988
 [5] R. Raman and S. S. Rao, Succinct dynamic dictionaries and trees, *Proc. 30th Int. Colloq. Automata, Languages and Programming*, 357-368, 2003
 [6] J. I. Munro, R. Raman, V. Raman, and S. S. Rao. Succinct representations of permutations, *Proc. 30th Int. Colloq. Automata, Languages and Programming*, 345-356, 2003
 [7] J. I. Munro and S. S. Rao, Succinct representations of functions, *Proc. 31st Int. Colloq. Automata, Languages and Programming*, 1006-1015, 2004
 [8] J. I. Munro, V. Raman, and S. S. Rao, Space efficient suffix trees. *J. of Algorithms*, 39(2):205-222, 2001
 [9] R. Grossi and J. S. Vitter, Compressed suffix arrays and suffix trees with applications to text indexing and string matching, *Proc. 32nd ACM Symp. Theory of Computing*, 397-406, 2000
 [10] K. Sadakane, Succinct representations of lcp information and improvements in the compressed suffix arrays, *Proc. 11th ACM-SIAM Symp. Discrete Algorithms*, 225-232, 2002
 [11] W. K. Hon, K. Sadakane, and W. K. Sung, Breaking a time-and-space barrier in constructing full-text indices, *Proc. 44th IEEE Symp. Found. Computer Science*, 251-260, 2003
 [12] R. Grossi, A. Gupta, and J. S. Vitter, High-order entropy-compressed text indexes, *Proc. 14th ACM-SIAM Symp. Discrete Algorithms*, 841-850, 2003
 [13] J. C. Na, Linear-time construction of compressed su±x arrays using $O(n \log^6 n)$ -bit working space for large alphabets, *Proc. 16th Combinatorial Pattern Matching*, 57-67, 2005
 [14] P. Ferragina and G. Manzini, Opportunistic data structures with applications, *Proc. 41st IEEE Symp. Found. Computer Science*, 390-398, 2000
 [15] P. Ferragina and G. Manzini, An experimental study of an opportunistic index. *Proc. 12th ACM-SIAM Symp. Discrete Algorithms*, 269-278, 2001
 [16] D. R. Clark, *Compact Pat Trees*, PhD thesis, University of Waterloo, Waterloo, 1996
 [17] P. B. Miltersen, Lower bounds on the size of selection and rank indexes, *Proc. 16th ACM-SIAM Symp. Discrete Algorithms*, 11-12, 2005
 [18] D. K. Kim, J. C. Na, J. E. Kim and K. Park, Fast Computation of Rank and Select Functions for Succinct Representation, *Algorithmica*, Submitted, 2006
 [19] D. K. Kim and K. Park, Linear-Time Construction of Two-Dimensional Suffix Trees, *Proc. 26th Int. Colloq. Automata, Languages and Programming*, 463-472, 1999